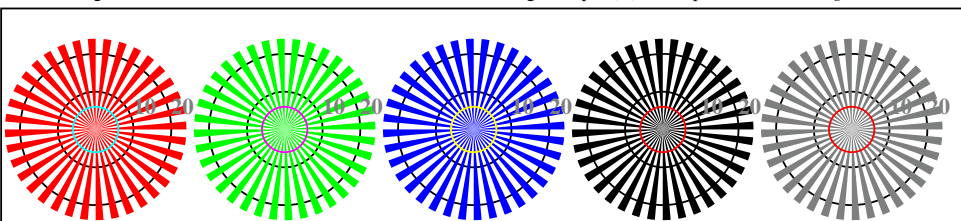


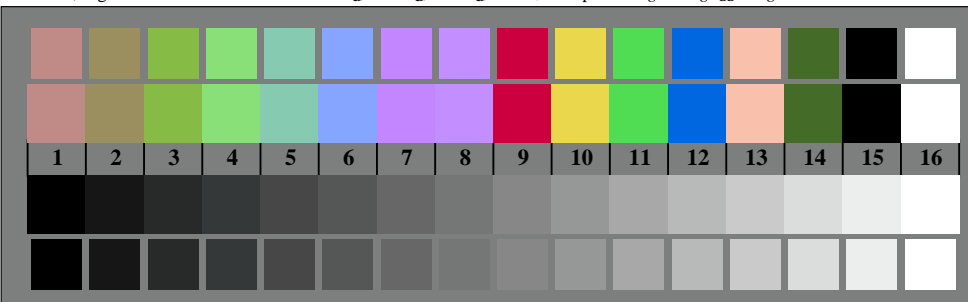
v http://130.149.60.45/~farbmefrik/RF96/RF96L0FP.PDF /PS; linearisation 3D  
l F: linearisation 3D RF96/RF96LF30FP.DAT dans fichier (F), page 2/2



RF960-3, Fig. D1Wdd: le motif fleuri, 14 CIE test couleurs et 2 + 16 gris étapes (sf); PS operator 3 colorimage

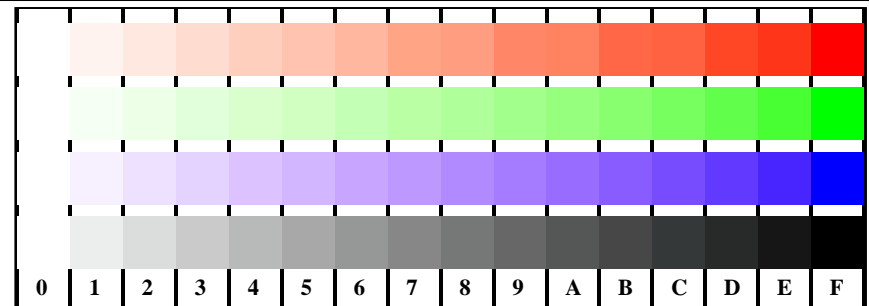
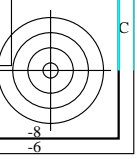


RF960-5, Fig. D2Wdd: radial callebotis W-Rd; W-Gd; W-Bd; W-N; PS operator rgb-&gt;rgbdd setrgbcolor



RF960-7, Fig. D3Wdd: 14 CIE test couleurs et 2 + 16 gris étapes (sf); rgb/cmy0-&gt;rgbdd setrgbcolor

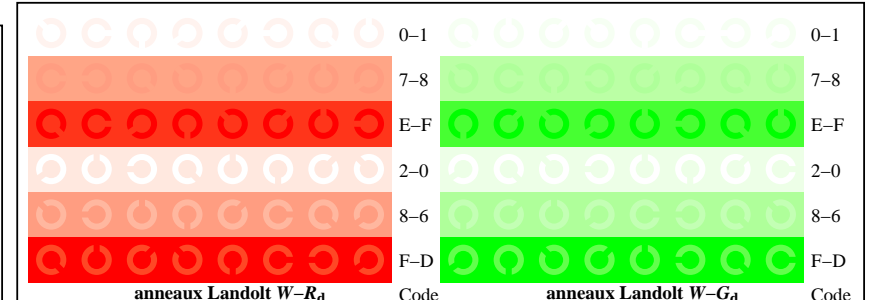
graphique RF96; 4(ISO/IEC 15775 + ISO/IEC TR 24705)  
chromatic graphique de test RGB, 3D=1, de=0, sRGB\*



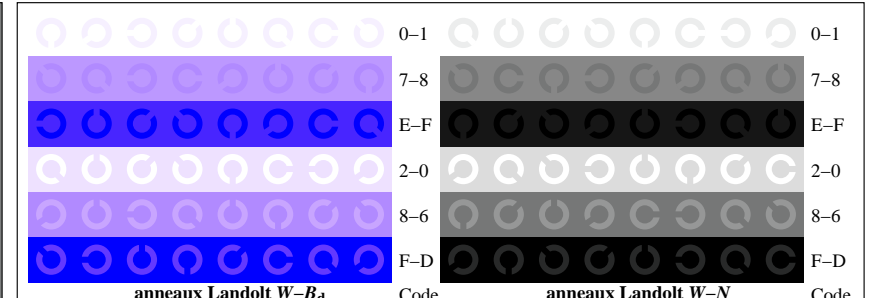
RF961-1, Fig. D4Wdd: 16 équidistants étapes W-Rd; W-Gd; W-Bd; W-N; rgb/cmy0-&gt;rgbdd setrgbcolor

+-.	○	○	○	○	○	lmno	○	○	○	○	○	pqrs	○	○	○	○
xyz;	○	○	○	○	○	hijk	○	○	○	○	○	lmno	○	○	○	○
tuvw	○	○	○	○	○	defg	○	○	○	○	○	hijk	○	○	○	○
pqrs	○	○	○	○	○	!abc	○	○	○	○	○	+-.:	○	○	○	○
lmno	○	○	○	○	○	xyz;	○	○	○	○	○	xyz;	○	○	○	○
hijk	○	○	○	○	○	tuvw	○	○	○	○	○	tuvw	○	○	○	○
defg	○	○	○	○	○	!abc	○	○	○	○	○	defg	○	○	○	○
!abc	○	○	○	○	○	+-.	○	○	○	○	○	!abc	○	○	○	○
10	N	R_d	G_d	B_d	Z	6	N	R_d	G_d	B_d	Z	8	N	R_d	G_d	B_d

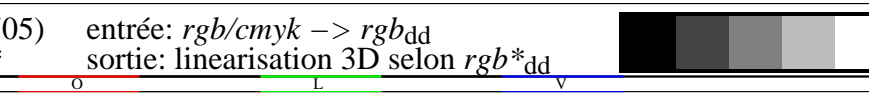
RF961-3, Fig. D5Wdd: code et Landolt anneau/N; R\_d; G\_d; Bd; Z; PS operator rgb-&gt;rgbdd setrgbcolor



RF961-5, Fig. D6Wdd: anneaux Landolt W-R\_d; W-G\_d; PS operator rgb-&gt;rgbdd setrgbcolor



RF961-7, Fig. D7Wdd: anneaux Landolt W-B\_d; W-N; PS operator rgb-&gt;rgbdd setrgbcolor



entrée: rgb/cmyk -> rgbdd  
sortie: linearisation 3D selon  $rgb^*dd$

